



Fig. 1.- Apilamiento de coladas fonolíticas en Montaña de Guía. En primer término, coladas nefeliníticas descendiendo de Montaña del Viento.



Fig. 10.- Aspecto estructural de la brecha volcánica Roque Nublo en el acantilado de la Punta de Gallegos.



Fig. 11.- Estructura compacta de la brecha Roque Nublo sin clasificación de sus fragmentos rocosos.



Fig. 12.- Potente depósito mixto de arenas, conglomerados, brecha Roque Nublo y otros - sedimentos epiclásticos (facies Santidad) en el Barranco de Cardones.



Fig. 13.- Depósito epiclástico de la facies Santidad con estratificación grosera sin - planos netos de estratificación. Barranco de Cardones. Detalle de la anterior.



Fig. 14.- Nivel arenoso blanquecino de origen marino en las Cuevas del Guincho, pertenecientes al miembro medio de la Formación detrítica Las Palmas. La unidad superior corresponde a la brecha volcánica Roque Nublo (B.R.N.).



Fig. 15.- Estructura de bioturbación en el nivel marino del miembro medio de la Formación detrítica de Las Palmas. Cuevas del Guincho.



Fig. 16.- Estructura de "ripples" de oscilación en el nivel marino del miembro medio de la Formación detrítica de Las Palmas. Cuevas del Guincho.



Fig. 17.- Estructuras de bioturbación en el nivel marino del miembro medio de la Formación detrítica de Las Palmas. Cuevas del Guincho.



Fig. 18.- Panorámica del nivel arenoso marino (A) correspondiente al miembro medio de la Formación detrítica de Las Palmas. Cuevas del Guincho.



Fig. 19.- Panorámica de la costa norte de la isla a la altura de El Pagador. Pueden verse los cerros compuestos por un apilamiento de coladas y sedimentos del ciclo post-Roque Nublo que se apoyan sobre brechas Roque Nublo (la base de los cerros), actuando como substrato la rasa fonolítica (línea de costa). Al fondo el volcán de Galdar (G).



Fig. 2.- Coladas fonolíticas en la parte sur de Montaña de Guía, en el pueblo de Hoya de Pineda.



Fig. 20.- Playa de S. Felipe y Punta de Gallegos. En el corte puede verse de abajo a arriba la brecha Roque Nublo, coladas basálticas del ciclo post-Roque Nublo inferior (A) y las coladas del volcán Gallegos (B) del ciclo post-Roque Nublo superior.



Fig. 21.- Desembocadura del Barranco de Azuaje. En el fondo del barranco afloran coladas fonolíticas (F). La base del cerro es la brecha Roque Nublo (B.R.N.). Encima, coladas basálticas del ciclo post-Roque Nublo inferior (A). La parte alta son sedimentos aluviales (S). La plataforma superior es una colada post-Roque Nublo superior (B).



Fig. 22.- Tramo inferior del Barranco de Azuaje. Sedimentos aluviales (S) sobre coladas basálticas del ciclo post-Roque Nublo inferior (C). En la parte baja del barranco aflora la brecha Roque Nublo (B.R.N.).

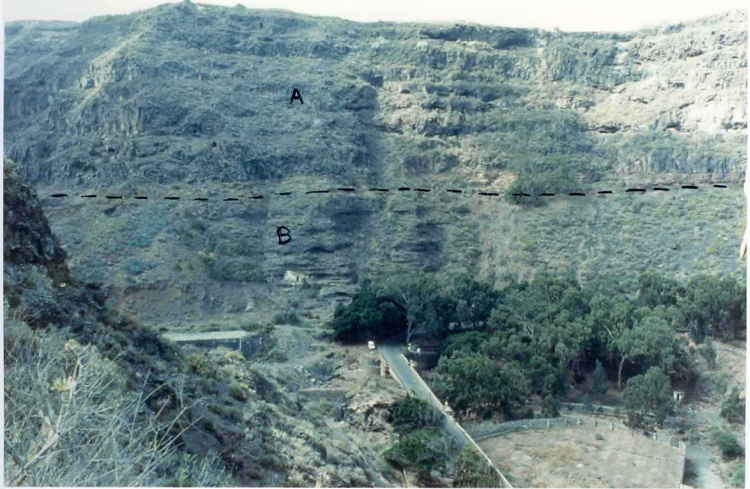


Fig. 23.- Ladera oeste de la parte baja del Barranco de Moya. Coladas basálticas (A) del ciclo post-Roque Nublo superior apoyan sobre potentes depósitos de sedimentos aluviales (B).



Fig. 24.- Potente depósito de sedimentos aluviales en la la  
dera oeste del Barranco del Calabozo, justo deba-  
jo del viaducto.



Fig. 25.- Sedimentos aluviales en la trinchera de la carretera del norte en la base del cerro de Cabo Verde.



Fig. 26.- Depósito de lapillis basálticos del ciclo post-Roque Nublo fosilizando un co-luvión fonolítico.



Fig. 27.- Vista general del cono de tefra del vértice Moya.



Fig. 28.- Vista general del cono de tefra del edificio Vergara.



Fig. 29.- Vista general del cono de tefra del Edificio Fircas.



Fig. 3.- Apilamiento de coladas fonolíticas en la ladera este de Montaña de Guía. Pueden observarse las potencias individuales de cada colada.



Fig. 30.- Vista general del edificio del Pico del Viento con los escarpes de las coladas nefeliníticas que descienden por las laderas.



Fig. 31.- Dique de melilitita olivínica en la ladera norte del Pico del Viento.



Fig. 32.- Restos de las coladas "intracanyons" post-Roque Nublo medio (I) fosilizando - la ladera del Barranco de Azuaje (flecha), compuesta por coladas basálticas - del ciclo post-Roque Nublo inferior (A). El tramo superior son coladas básicas del ciclo post-Roque Nublo superior (B), que fosilizan tanto las coladas "intracanyons" como las coladas A.



Fig. 33.- Coladas basálticas del ciclo post-Roque Superior (A) adaptandose al Barranco de Dolores y fosilizando (flecha) sedimentos aluviales (S) del ciclo post-Roque Nublo inferior.



Fig. 34.- Panorámica de la rasa fonolítica costera (zona de cultivos) sobre la que se depositaron los materiales del Roque Nublo (base de los cerros), sedimentos aluviales y coladas basálticas del ciclo post-Roque Nublo (tramos medio y superior de los cerros).



Fig. 35.- Panorámica de las plataformas superiores de las coladas básicas del ciclo -- post-Roque Nublo superior, en la punta del Mármol. (M)

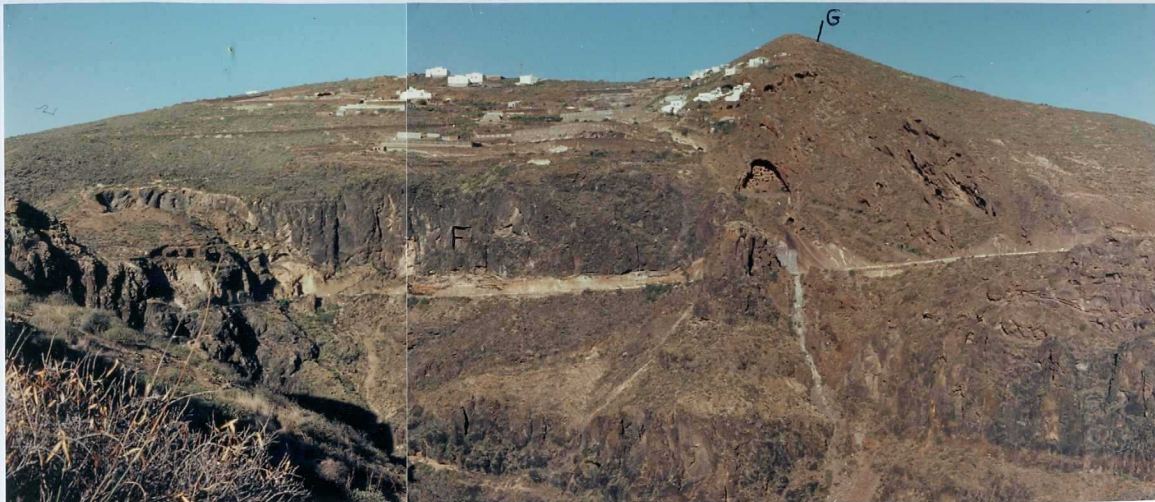


Fig. 36.- Panorámica del cono de tefra del edificio Gallegos (G), surgido sobre coladas fonolíticas (F), visto desde el Hormiguero.



Fig. 37.- Cuevas del Valerón, realizadas sobre los materiales tobáceos del cono de tefra del edificio Gallegos.



Fig. 38.- Acantilado en la Punta del Mármol (M). En la parte baja la brecha Roque Nublo (B.R.N.); en el tramo intermedio las coladas basálticas del ciclo post-Roque Nublo inferior (A) y en la parte superior las coladas del ciclo post-Roque -- Nublo superior (B). Al fondo el volcán de Gáldar.



Fig. 39.- Panorámica del valle de Gáldar con el volcán del mismo nombre (G).



Fig. 4.- Panorámica de la ladera este del Barranco de Moya. Se puede observar la considerable potencia de la brecha volcánica Roque Nublo debajo de la iglesia de Moya (M), el contacto con las fonolitas (en flechas), el apilamiento de coladas fonolíticas en el centro (F), y las coladas básicas del ciclo post-Roque Nublo superior en los tableros de la costa en Cabo Verde C.V.).



Fig. 40.- Volcán de Gáldar visto desde Montaña Almagro. En la ladera oeste pueden verse las canteras de "picón" (C) hoy inactivas.

NO ESTA EN EL MAPA

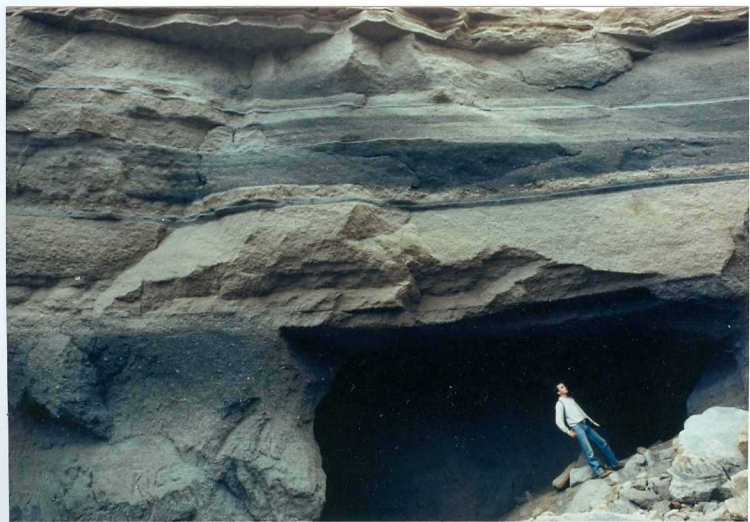


Fig. 41.- Estratificación paralela de lapillis de distinto color, pero de igual composición, en las canteras del volcán de Gáldar.



Fig. 42.- Cono de tefra del Edificio Jordán.

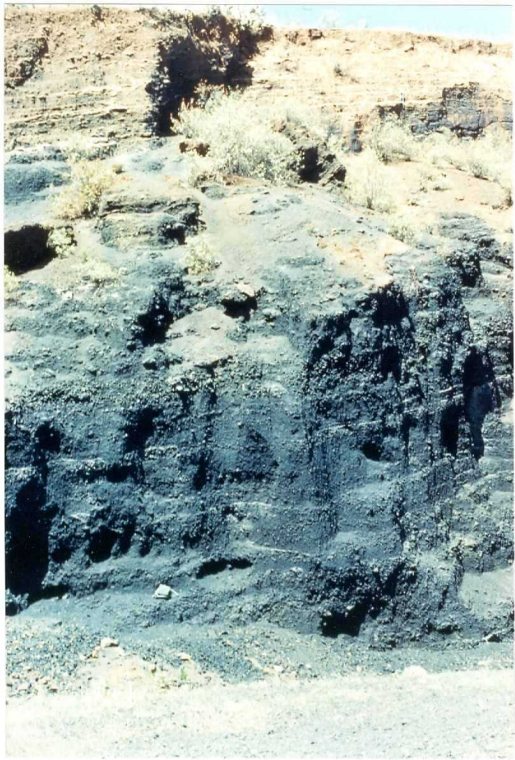


Fig. 43.- Cantera de "picón" en el cono del Edificio Jordán.



Fig. 44.- El volcán compuesto de Cardones, visto desde Montaña de Arucas.

NO ESTA EN EL NAPA



Fig. 45.- En primer término La Caldera (C), al fondo el volcán de Arucas (A).

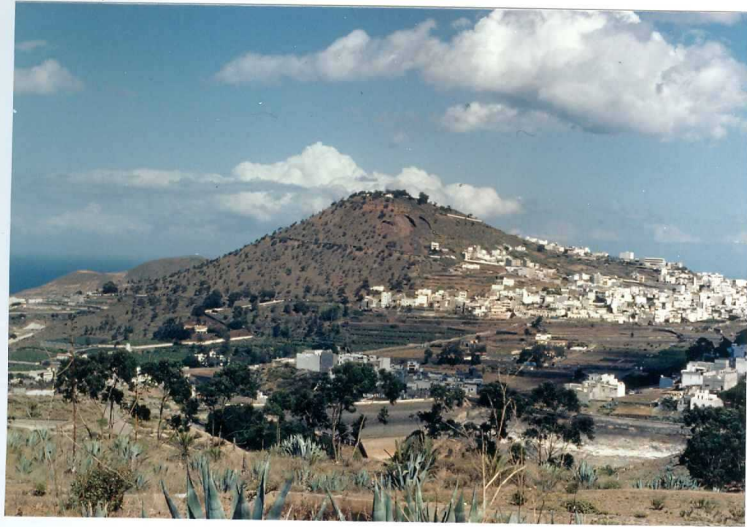


Fig. 46.- Cono de tefra del volcán de Arucas.



Fig. 47.- Capas de lapilli de distintos tamaños, en la laderas del volcán de Arucas.



Fig. 48.- Coladas de tefritas fonolíticas del volcán de Arucas (A) superpuestas a coladas basaníticas (B) del volcán Cardones. Barranco de Cardones.



Fig. 49.- Depósitos arenosos fosilíferos pertenecientes a la terraza marina a 35 m. Punta de Las Salinas.



Fig. 5.- Apilamiento de coladas fonolíticas (F) buzando hacia el mar, marcando en su rotura de pendiente la línea del paleoacantilado. A la derecha los - tableros basálticos horizontales del ciclo post-Roque Nublo superior en la plataforma de Cabo Verde C.V.). La carretera es la que sube de El Paga dor a Moya.

Fig. 50.- Nidos de antóforas desarrollados en niveles arenosos de la terraza marina a 35 m. Al este de la Punta de Las Salinas.





Fig. 6.- Acantilado fonolítico en la Punta del Caletón. La parte baja son fonolitas (F) y la superior coladas tefritico-fonolíticas del volcán de Arucas (A).



Fig. 7.- Aspecto estructural de las coladas ignimbriticas de la formación fonolítica.



Fig. 8.- Colada básica de la base del ciclo Roque Nublo en el Barranco de Quintanilla. Por encima se deposita la brecha volcánica Roque Nublo y, por debajo, la unidad inferior de la Formación detrítica de Las Palmas, en las que se puede observar el nivel de cantos fonolíticos rebefactados. (entre líneas discontinuas).



Fig. 9.- Manto de la brecha volcánica Roque Nublo (B.R.N.) en la parte baja del Barranco de Azuaje. Por encima de ella, colada basáltica "intracanyon" del ciclo post-Roque Nublo medio.